

## 荧光素/层状钇氢氧化物复合体的发光性能及对 $\text{Hg}^{2+}$ 的识别

李 建<sup>1</sup> 苏飞飞<sup>2</sup> 国 荣<sup>2</sup> 梁足培<sup>\*1</sup> 马淑兰<sup>\*2</sup>

(<sup>1</sup> 潍坊学院化学化工与环境工程学院, 潍坊 261061)

(<sup>2</sup> 北京师范大学化学学院, 北京 100875)

**摘要:** 合成了层状钇氢氧化物(LYH)复合体 FN/OS-LYH(FN 为荧光素, OS 为 1-辛烷磺酸钠), 研究了复合体的光致发光性能及剥离态胶体对  $\text{Hg}^{2+}$  的荧光识别性能。固态下, FN 的钠盐不发光, FN/OS-LYH 复合体发射黄绿光(564 nm); 甲酰胺中, 剥离为胶体悬浮液后, 复合体发射绿光(540 nm, 即剥离后蓝移 24 nm), 比 FN 阴离子的发射(572 nm)蓝移 32 nm。复合体对高毒性  $\text{Hg}^{2+}$  具有很好的荧光识别能力, 优于其他离子( $\text{Mg}^{2+}$ ,  $\text{Ni}^{2+}$ ,  $\text{Co}^{2+}$ ,  $\text{Cu}^{2+}$ ,  $\text{Zn}^{2+}$ ,  $\text{Pb}^{2+}$  和  $\text{Cd}^{2+}$ )。复合体加入  $\text{Hg}^{2+}$  后发生荧光淬灭,  $\text{Hg}^{2+}$  检测限为  $2.73 \times 10^{-7} \text{ mol} \cdot \text{L}^{-1}$ , 淬灭常数( $K_{\text{q}}$ )为  $4.82 \times 10^2 \text{ L} \cdot \text{mol}^{-1}$ 。

**关键词:** LRH 复合体; 荧光; 剥离; 离子检测; 荧光识别

中图分类号: O657 文献标识码: A 文章编号: 1001-4861(2018)10-1826-07

DOI: 10.11862/CJIC.2018.226

## Photoluminescence and Detection of $\text{Hg}(\text{II})$ Ions of Layered Yttrium Hydroxide Composite with Fluorescein

LI Jian<sup>1</sup> SU Fei-Fei<sup>2</sup> GUO Rong<sup>2</sup> LIANG Zu-Pei<sup>\*1</sup> MA Shu-Lan<sup>\*2</sup>

(<sup>1</sup>Chemistry & Chemical and Environmental Engineering College, Weifang University, Weifang, Shandong 261061, China)

(<sup>2</sup>College of Chemistry, Beijing Normal University, Beijing 100875, China)

**Abstract:** The layered yttrium hydroxide (LYH) composite (FN/OS-LYH, where FN is fluorescein, 2-(6-hydroxy-3-oxo-(3H)-xanthen-9-yl)benzoic acid, and OS is the anionic surfactant of 1-octane sulfonic acid sodium) is synthesized. The photoluminescence property of the FN/OS-LYH and the application on detection of  $\text{Hg}(\text{II})$  ions of the delaminated FN/OS-LYH is studied. In solid state, pure FN salt shows no any emission, while the FN/OS-LYH composite displays yellow-green emission at 564 nm, and at delaminated state in formamide (FM), it displays a green emission at 540 nm (with 24 nm blue shift), in contrast to the 572 nm emission of free FN anions with a 32 nm blue shift. The delaminated FN/OS-LYH colloidal suspension exhibits high selectivity for  $\text{Hg}^{2+}$  over other ions ( $\text{Mg}^{2+}$ ,  $\text{Ni}^{2+}$ ,  $\text{Co}^{2+}$ ,  $\text{Cu}^{2+}$ ,  $\text{Zn}^{2+}$ ,  $\text{Pb}^{2+}$ , and  $\text{Cd}^{2+}$ ) with fluorescence quenching. The detection limit of  $\text{Hg}^{2+}$  is determined to be  $2.73 \times 10^{-7} \text{ mol} \cdot \text{L}^{-1}$  and the quenching constant ( $K_{\text{q}}$ ) is  $4.82 \times 10^2 \text{ L} \cdot \text{mol}^{-1}$ .

**Keywords:** LRH composite; luminescence; delamination; ion detection; fluorescence recognition

## 0 引言

近年来, 以无机层状化合物为主体、有机物为客体的有机-无机杂化材料, 由于在催化、离子交换、

传感和光化学等方面的应用<sup>[1-2]</sup>, 成为研究热点。无机层状化合物具有独特的结构和性能, 且种类众多, 如金属硫化物<sup>[3]</sup>, 金属磷酸盐和膦酸盐<sup>[4]</sup>, 以及层间客体可交换且层电荷密度高的层状金属氧化

收稿日期: 2018-05-17。收修改稿日期: 2018-06-28。

山东省自然科学基金(No.ZR2013BL017, ZR2015BL024)和北京市自然科学基金(No.2182029)资助项目。

\*通信联系人。E-mail: zupeiliang@163.com, mashulan@bnu.edu.cn

物<sup>[5]</sup>。层状稀土金属氢氧化物(LRHs)是一种新型的二维材料,其化学式为 RE<sub>2</sub>(OH)<sub>6-m</sub>A<sub>m/x</sub>·nH<sub>2</sub>O(RE:稀土离子;A:层间客体阴离子),由带正电荷的稀土氢氧化物主体层板和层间客体阴离子构成<sup>[6]</sup>,在离子交换<sup>[7]</sup>、催化<sup>[8]</sup>、光致发光<sup>[9]</sup>等方面有广泛应用。由于层间客体种类可变,层板结构可调,可制得多样化、多功能的复合材料,在光学领域具有重要应用<sup>[10-11]</sup>。研究人员将有机物插入 LRHs 以制备性能优良的光功能性材料<sup>[12-13]</sup>。我们研究组将多种苯多羧酸类化合物插入 LRHs<sup>[14-17]</sup>,但工作重心均围绕复合材料在固态下的荧光性能。近期,我们研究组发现阴离子表面活性剂 1-辛烷磺酸钠(OS)可加速 LRH 材料的剥离,并且剥离后复合体的发光性能与固态下的差异很大<sup>[18-21]</sup>,扩展了 LRH 材料的应用范围。

在环境和生理等方面,化学传感器对过渡金属及重金属离子的检测具有重要意义<sup>[22-23]</sup>。在化学传感器中,荧光传感具有操作简单,响应速度快,成本低及可对金属离子实时监测等优异特性,受到研究者广泛关注<sup>[24-25]</sup>。但 LRHs 材料作为荧光传感器检测金属离子的报道很少。Byeon 研究组<sup>[26]</sup>报道了利用 Tb 掺杂 LYH 检测 Cr<sup>4+</sup>,由于 LYH:xTb 激发态能级与 Cr<sup>4+</sup>的吸收波长重叠,形成一内部能量传递体系。他们还研究了 Eu:LGdH<sup>[27]</sup>对钒酸根离子的检测。以上工作大部分是利用层板 RE<sup>3+</sup>的发光性能变化来实现离子检测的目的,且都是有关阴离子识别的报道,未见金属阳离子识别的研究。基于 LRHs 层间客体的荧光传感性质的研究则更少。最近,我们课题组<sup>[28]</sup>研究了荧光素/OS-LYH 复合体对 Fe<sup>3+</sup>的识别性能,是首次利用 LRHs 层间客体的发光性能检测金属阳离子的报道。

由于 Hg<sup>2+</sup>的高毒性,近年来引起人们极大关注<sup>[29]</sup>。然而,Hg<sup>2+</sup>应用于许多领域,例如农业、食物保鲜、牙科及报纸等行业<sup>[30]</sup>。汞离子被认为是所有金属离子中毒性最强的污染物之一<sup>[31-33]</sup>。在金属阳离子中,汞离子存在形式最丰富,Hg<sup>2+</sup>具有很强致癌性和急性细胞毒性,对人体中枢神经系统的危害极大。Hg<sup>2+</sup>易通过皮肤,呼吸系统,细胞膜和胃肠组织侵入人体,导致神经疾病如肢体疼痛症、享-罗二氏征、水俣病等<sup>[34-35]</sup>。天然存在的甲基汞(通过水生系统中汞离子的生物甲基化形成),即有机形式的汞离子被普遍认为是造成各种神经疾病的主要原因。这种甲基汞积聚在食物链中,人体摄入后可轻易穿过血脑屏障,对人体健康造成致命影响<sup>[36-38]</sup>。无机汞离子

Hg<sup>2+</sup>比有机形式的 MeHg<sup>+</sup>肾毒性更强,因为它们积累在肾近端小管细胞中<sup>[39]</sup>。因此,对汞离子的有效检测非常重要<sup>[40-42]</sup>。

荧光素(fluorescein, 缩写 FN)是一种光活性有机化合物,结构如图 1 所示。将其和 OS 作为有机客体共同插入 LYH 层间,LYH 层板的限域作用和 OS 的协同效应,可带来特殊的发光性能,利用此发光性能,可用作荧光传感识别金属离子。研究发现所得 FN/OS-LYH 复合体在甲酰胺中剥离所得胶体与固态时呈现不同的发光性能。更重要的是,FN/OS-LYH 对 Hg<sup>2+</sup>显示出优异的识别特性。此工作为 LRH 复合体应用于离子识别的荧光化学传感研究提供了重要数据。

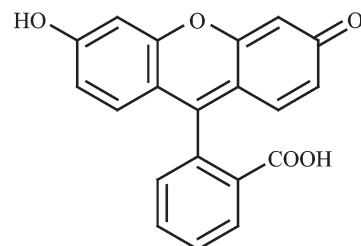


图 1 荧光素(fluorescein, FN)的结构图

Fig.1 Structure of the fluorescein (FN)

## 1 实验部分

### 1.1 NO<sub>3</sub>-LYH 前体的制备

以 Y(NO<sub>3</sub>)<sub>3</sub>·6H<sub>2</sub>O 为原料,HMT 为水解试剂<sup>[21]</sup>,通过水热反应合成 NO<sub>3</sub>-LYH 前体。具体反应过程:将 Y(NO<sub>3</sub>)<sub>3</sub>·6H<sub>2</sub>O(1 mmol),HMT(1 mmol) 和 NaNO<sub>3</sub>(13 mmol) 溶于 80 mL 去离子水,90 ℃下在 Teflon 水热釜中加热 12 h。过滤得产物,用去离子水洗涤,40 ℃真空干燥 24 h。

### 1.2 FN 钠盐的制备

取 0.06 mmol (0.021 g)FN,加入等物质的量的 NaOH(0.06 mmol,0.002 4 g),溶于 50 mL 水,然后蒸干溶剂,得粉末状固体,为 FN 的钠盐。

### 1.3 OS-LYH 和 FN/OS-LYH 的制备

复合体通过离子交换法合成。为合成 OS-LYH,首先将 3 mmol (0.649 g)OS 溶解在 80 mL 去离子水中,然后将 0.43 mmol(~0.078 g)NO<sub>3</sub>-LYH 粉末分散到上述溶液中,70 ℃下在 Teflon 釜中反应 24 h,过滤得产物,用去离子水洗涤,40 ℃真空干燥 24 h。对 FN/OS-LYH 复合体,首先将 0.06 mmol (0.021 g)FN 和 0.06 mmol(0.002 4 g)NaOH 溶于 80 mL 去离子水,得到淡黄色溶液,然后加入 2.94 mmol(0.635 g)OS,

保持有机物(FN+OS)物质的量的总和为3 mmol。此时FN与OS物质的量之比为1:49。之后,将0.43 mmol(0.078 g)的NO<sub>3</sub>-LYH粉末分散到上述溶液中。70 ℃下Teflon釜中反应24 h,过滤收集固体,去离子水洗涤,40 ℃真空干燥24 h。

#### 1.4 复合体对金属离子的识别实验

将0.03 g FN/OS-LYH粉末分散到30 mL甲酰胺中,机械振荡2 h,获得半透明胶体悬浮液。向3 mL胶态悬浮液中加入1 mL浓度为70 mmol·L<sup>-1</sup>的Hg<sup>2+</sup>、Mg<sup>2+</sup>、Co<sup>2+</sup>、Ni<sup>2+</sup>、Cu<sup>2+</sup>、Zn<sup>2+</sup>、Pb<sup>2+</sup>和Cd<sup>2+</sup>的水溶液(采用相应硝酸盐配置溶液)。测定溶液的荧光光谱( $\lambda_{\text{ex}}=350$  nm)。

#### 1.5 不同浓度Hg<sup>2+</sup>的识别实验

将0.03 g FN/OS-LYH复合体粉末分散到30 mL甲酰胺中,机械振荡2 h,获得半透明胶体悬浮液。向3 mL胶体悬浮液中加入1 mL不同浓度Hg<sup>2+</sup>水溶液。测定溶液的荧光光谱( $\lambda_{\text{ex}}=350$  nm)

#### 1.6 样品表征所用的仪器和工作条件

X射线粉末衍射仪分析(XRD,X'PertPRO MPD衍射仪,荷兰PANalytical公司,Cu K $\alpha$ 靶, $\lambda=0.154$  18 nm,扫描管压、管流分别为40 mA和40 kV,步长0.2°,扫描范围大角为4.5°~70°,小角为0.8°~6°);傅里叶红外光谱(FT-IR,Nicolet-360红外光谱仪,美国Nicolet公司,扫描范围4 000~400 cm<sup>-1</sup>);扫描电子显微镜(SEM,HITACHIS-4800),日本日立公司,操作电压10.0 kV,工作距离6 mm;荧光光谱(PL)分析(固体荧光采用RF-5301 PC荧光分光光度计,日本岛津公司;液体荧光采用Cary Eclipse荧光分光光度计,澳大利亚VARIAN公司);CHN元素分析测试(Vario EL元素分析仪,德国Elementar公司);等离子电感耦合原子发射光谱(ICP-AES,Jarrel-ASH ICAP-9000,德国斯派克分析仪器公司)。

## 2 结果与讨论

### 2.1 复合体的结构与组成

利用X射线衍射仪(XRD)对NO<sub>3</sub>-LYH前体和复合体的结构进行表征。图2为NO<sub>3</sub>-LYH,OS-LYH和FN/OS-LYH复合体的XRD图。图2a为NO<sub>3</sub>-LYH的XRD图<sup>[43]</sup>,衍射峰的峰型尖锐,说明样品结晶度很好。在0.89、0.45和0.29 nm处观察到一系列(00l)衍射峰,为层状化合物的特征衍射,层间距为0.89 nm。单纯OS插层的复合体,即OS-LYH复合体的层间距为2.01 nm(图2b)。FN和OS共插层的复合体

FN/OS-LYH的XRD图(图2c)中,层间距仍为2.01 nm,与单纯OS插层复合体的层间距相近,说明LYH层间主要由OS支撑。除2.01 nm主相外,还存在一个层间距稍小的相,可能是FN插层相对应的衍射。所有样品在0.31 nm处出现衍射峰,为LRH层板的(200)晶面衍射<sup>[43]</sup>。

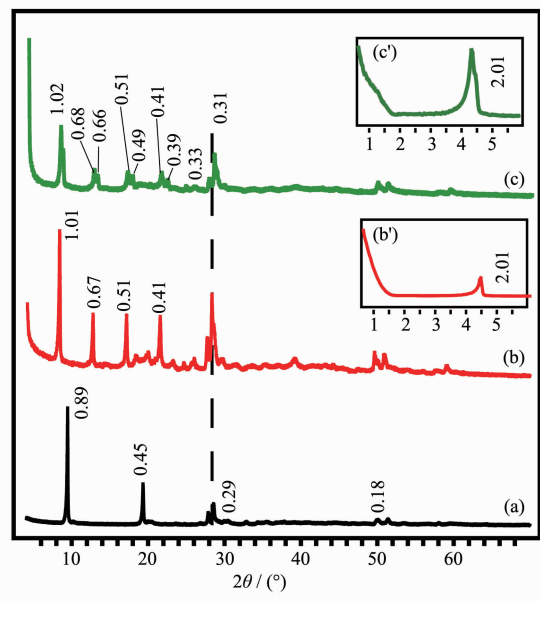


图2 NO<sub>3</sub>-LYH前体(a)和复合体OS-LYH(b, b'), FN/OS-LYH(c, c')的XRD图

Fig.2 XRD patterns of NO<sub>3</sub>-LYH precursor (a) and composites of OS-LYH (b, b') and FN/OS-LYH (c, c')

图3为样品的FT-IR谱图。FN钠盐(FN-Na)的IR谱如图3a所示,1 636 cm<sup>-1</sup>为C=O的特征吸收峰,1 576和1 464 cm<sup>-1</sup>处的吸收分别属于COO<sup>-</sup>的C=O和C-O的吸收<sup>[44]</sup>。对OS(图3b),1 199和1 068 cm<sup>-1</sup>为SO<sub>3</sub><sup>2-</sup>的特征吸收,2 852~2 921 cm<sup>-1</sup>对应-CH<sub>2</sub>和-CH<sub>3</sub>基团的伸缩振动。NO<sub>3</sub>-LYH的IR谱如图3c所示,1 384 cm<sup>-1</sup>处尖锐及强的吸收峰为NO<sub>3</sub><sup>-</sup>的ν<sub>3</sub>振动吸收。复合体的IR如图3d所示,复合体中NO<sub>3</sub><sup>-</sup>吸收几乎完全消失,表明NO<sub>3</sub><sup>-</sup>被交换。此外,2 922和2 853 cm<sup>-1</sup>处脂肪族C-H的伸缩振动,以及1 171和1 049 cm<sup>-1</sup>处SO<sub>3</sub><sup>2-</sup>的特征吸收,表明OS引入层间。同时,1 593和1 464 cm<sup>-1</sup>处观察到C=O和C-O伸缩振动,表明FN阴离子进入层间。以上证据说明复合体的成功合成。

基于ICP,CHN和电荷平衡等方面综合分析,LYH前体和复合体的估算组成如表1所示。在制备

表 1  $NO_3$ -LYH 前体和 FN/OS-LYH 复合体的化学组成式  
Table 1 Chemical compositions of  $NO_3$ -LYH and FN/OS-LYH composite

Sample	Chemical formula	Found (Calcd.) / %			
		Y	C	H	N
$NO_3$ -LYH	$Y(OH)_{2.5}(NO_3)_{0.46}(CO_3)_{0.02} \cdot 1.1H_2O$	49.21(49.07)	0.12(0.13)	2.63(2.61)	3.57(3.55)
$FN_{0.02}OS_{0.98}$ -LYH	$Y(OH)_{2.5}(C_{20}H_{11}O_5)_{0.022}(C_8H_{17}O_3S)_{0.475} \cdot 0.4H_2O$	38.76(37.24)	20.03(21.61)	5.39(4.89)	—

的复合体中发现, 分析得到的 FN 与 OS 物质的量之比与实验起始加入的 FN 与 OS 物质的量之比一致, 计算所得理论元素含量与实验测定值符合良好, 说明 2 种有机物基本按比例插入 LYH 层间形成复合体。

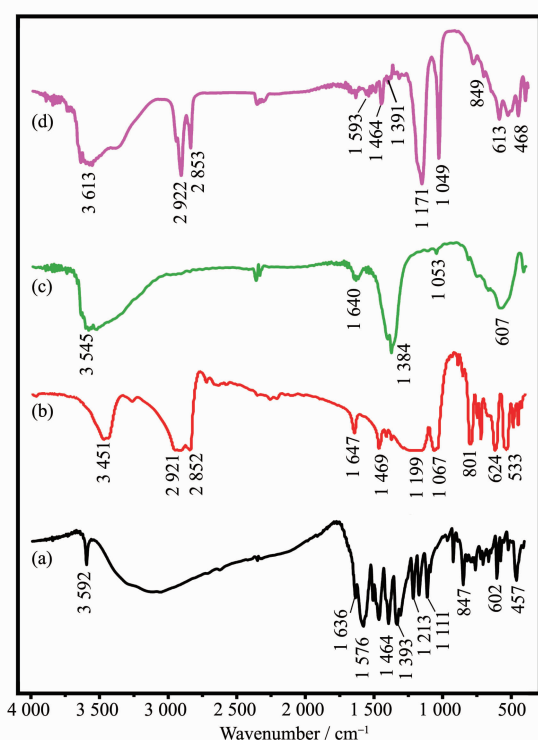


图 3 FN-Na (a), OS (b),  $NO_3$ -LYH (c) 和 FN/OS-LYH 复合体(d)的 IR 谱图

Fig.3 FT-IR spectra of FN-Na (a), OS (b),  $NO_3$ -LYH (c) and FN/OS-LYH composite (d)

## 2.2 样品的形貌分析

为进一步研究样品的结构与形貌, 采用扫描电镜(SEM)进行观察, 如图 4 所示。可看出, 样品呈现表面粗糙的片状形貌。 $NO_3$ -LYH 晶体(图 4a,a')主要生长为正六面体的片状结构, 其中部分晶体生长为柱状或花状聚集体。与已报道的拉长的六边形形貌的  $NO_3$ -LGdH<sup>[15]</sup>相比, 本文合成的  $NO_3$ -LYH 样品更倾向于较短边长的结晶。复合体 FN/OS-LYH(图 4b,b')呈现出与前体  $NO_3$ -LYH 相似的形貌, 此形貌的保持表

明复合体合成过程为拓扑结构插层。

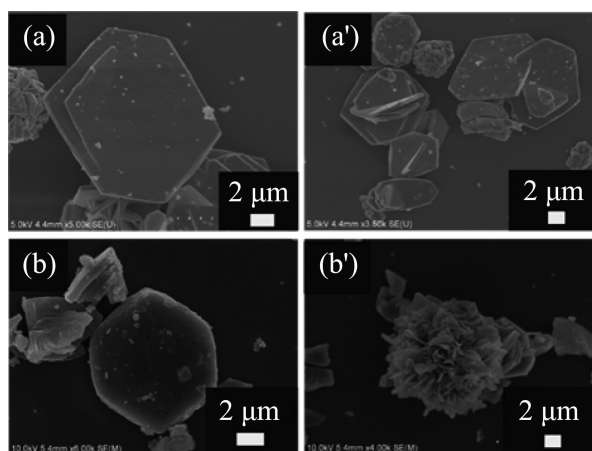


图 4  $NO_3$ -LYH 前体(a, a')和复合体 FN/OS-LYH (b, b')的 SEM 照片

Fig.4 SEM images of  $NO_3$ -LYH (a, a') and FN/OS-LYH (b, b')

## 2.3 固态发光性能

图 5 为 FN-Na 盐和复合体 FN/OS-LYH 的固态发射光谱。对 FN-Na(图 5a), 不论使用何种激发波长, 都未观察到任何发射峰, 可能是由于 FN-Na 浓度聚集造成的荧光淬灭<sup>[18]</sup>。复合体 FN/OS-LYH(图 5b), 在 564 nm 呈现明显的黄绿光发射( $\lambda_{ex}=480$  nm), 该发射光为 FN 阴离子的特征发射。

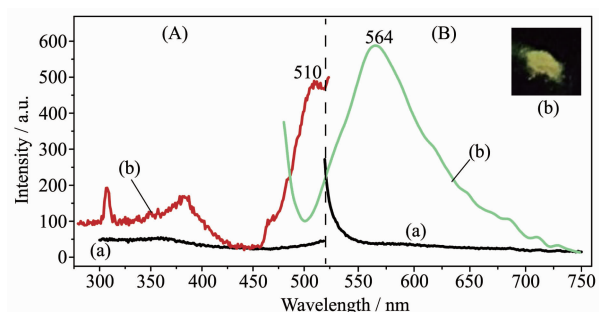


图 5 FN-Na (a)和复合体FN/OS-LYH (b)的固态荧光  
激发 (A)和发射 (B)谱图

Fig.5 Excitation (A) and emission (B) spectra of FN-Na (a) and FN/OS-LYH composite (b) in solid state

## 2.4 胶体态的发光性能

研究了 FN-Na 盐在甲酰胺溶液和复合体在甲酰胺中剥离所得胶体的发光性能。甲酰胺中, FN-Na 呈黄绿光发射(572 nm, 图 6A-a), 相比于 FN 在碱性水溶液<sup>[45-46]</sup>中的发射波长(约 500 nm)发生红移。分析发射波长不同的原因, 甲酰胺的-NH<sub>2</sub> 可能与 FN 阴离子的-OH 发生作用, 可能导致 FN 的-OH 去质子

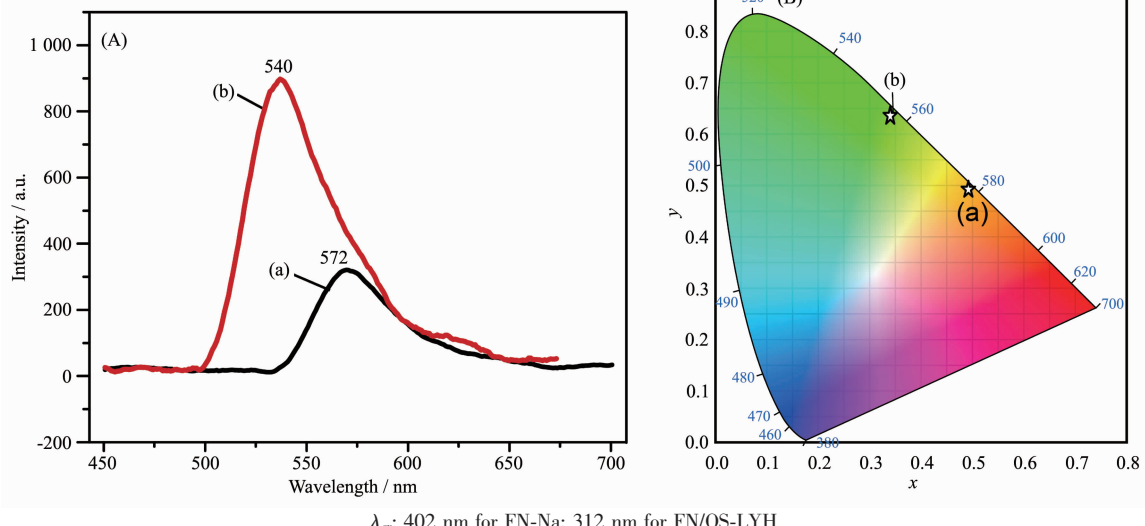


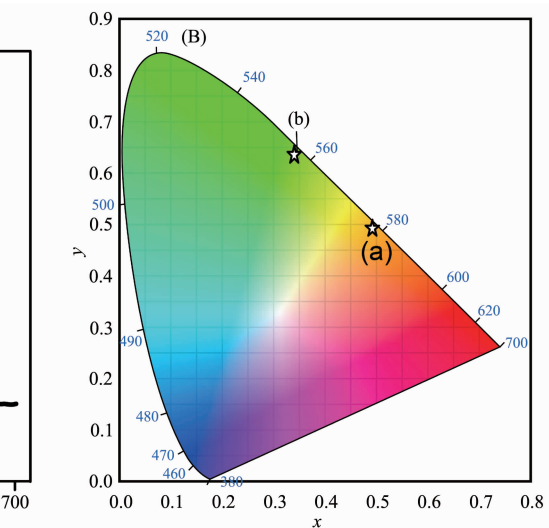
图 6 (A) 甲酰胺中 FN-Na(a) 和 FN/OS-LYH(b) 的发射谱; (B) 样品的 CIE1931 色度图

Fig.6 (A) Emission spectra of FN-Na (a) and FN/OS-LYH composite (b) in formamide;  
(B) CIE 1931 chromaticity diagram of the samples

## 2.5 发光机理分析

从以上发光性质分析可见, 复合体中 FN 和 OS 对发光波长均有影响, 此处的发光中心是荧光素 FN 离子, 呈现绿光发射。与 FN-Na 盐(572 nm)相比, 复合体的发射峰位置发生蓝移(540 nm), 且发射强度增强。这可能归因于 OS 的稀释效应以及 LYH 层板的限域效应。据 Ogawa 和 Kuroda 报道, 表面活性剂可在一定程度上减缓光敏物质的分子间团聚<sup>[47]</sup>, 改善发光性能。本实验中, 表面活性剂(OS)可起到稀释有机物 FN 的作用, 避免其团聚, 增强发光强度<sup>[48-49]</sup>。LYH 层板元素为 Y, 为不发光的稀土元素, 与其他发荧光的稀土元素相比价格较低, 可节约成本<sup>[50]</sup>。在本实验体系中, 阴离子表面活性剂 OS 既影响发射强度又改变发射峰位置, 与已报道结果有所不同<sup>[51]</sup>。发射峰位置的变化可能是因为 OS 与 FN 阴离子和带正电 LYH 层板作用时, FN 所处微环境改变。刚性分子 FN 和柔性分子 OS 发生超分子作用, 可能导致 FN 构型变化, 进而改变 FN 的能级, 使其发射峰位置移动。

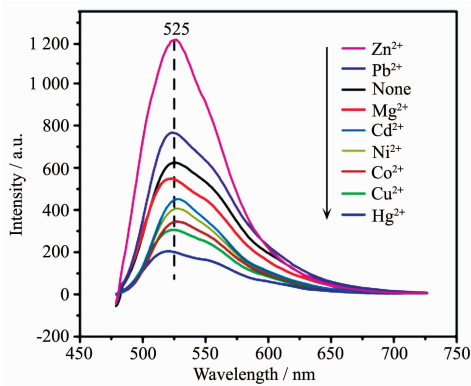
以及结构转换。剥离后复合体 FN/OS-LYH 呈现 540 nm 绿光发射(图 6A-b)。FN/OS-LYH 的发射相对于自由的 FN 阴离子发生显著蓝移(32 nm), 这可能是因为 FN 阴离子所处的微环境发生变化, 大量 OS 阴离子及正电性 LYH 层板与 FN 阴离子间存在相互作用。图 6B 为复合体对应的 CIE1931 色度图, 发射坐标所在区域与发射光颜色一致。



## 2.6 复合体的离子识别性能

研究了复合体 FN/OS-LYH 对于金属离子的识别能力。图 7 为加入不同金属离子后, FN/OS-LYH 的荧光光谱。当激发波长为 350 nm 时, 发射光谱在 525 nm 处有最强峰。当复合体分散于甲酰胺+H<sub>2</sub>O 混合液中, 相较于分散在纯甲酰胺溶液而言, 发射波长发生蓝移, 由 538 nm 移动至 525 nm, 可能是由于 H<sub>2</sub>O 存在产生的影响<sup>[28]</sup>。在离子识别过程中, 不同金属离子导致发光强度不同。添加 Zn<sup>2+</sup> 和 Pb<sup>2+</sup> 时发光强度增强。而其他离子如 Mg<sup>2+</sup>, Cd<sup>2+</sup>, Ni<sup>2+</sup>, Co<sup>2+</sup>, Cu<sup>2+</sup> 和 Hg<sup>2+</sup> 等均减弱发光强度。值得注意的是, Hg<sup>2+</sup> 减弱复合体荧光发射的程度最大。

图 8 为加入金属离子前后复合体在 525 nm 处的荧光强度。相比于其他离子, Hg<sup>2+</sup> 具有明显的淬灭效果, 可能是由于 Hg<sup>2+</sup> 与 FN 阴离子(羧基 O 和羟基 O 原子)间具有较强的配位能力; 此时, Hg<sup>2+</sup> 与 LYH 正电性层板可进行阳离子交换, 进而与有机物 FN<sup>-</sup> 作用, 影响由 LYH 层板限域导致的发光增强, 最终导致发光减弱或淬灭。同时, Hg<sup>2+</sup> 与 OS<sup>-</sup>、FN<sup>-</sup> 的静电



$\lambda_{\text{ex}}=350 \text{ nm}$ ; 'None' case is a control experiment, for which 3 mL composite colloid was mixed with 1 mL pure water

图 7 不同金属离子与FN/OS-LYH 混合的发射光谱

Fig.7 Emission spectra of FN/OS-LYH colloid mixed with various metal ions

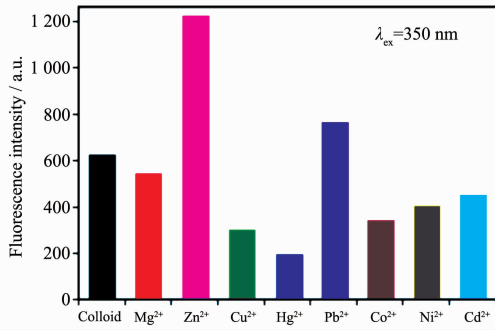


图 8 FN/OS-LYH 加入不同金属离子后在发射波长 525 nm 处的荧光强度

Fig.8 Fluorescence intensity of FN/OS-LYH at 525 nm when mixed with different metal ions

吸引,也会拉近 FN<sup>-</sup>,导致其浓度聚集效应使荧光减弱。FN/OS-LYH 复合体可望用于识别  $\text{Hg}^{2+}$  的荧光化学传感。

进一步研究了  $\text{Hg}^{2+}$  浓度对发光强度的影响。随  $\text{Hg}^{2+}$  浓度增加,复合体的发射强度逐渐减弱(图 9)。 $\text{Hg}^{2+}$  可能与 FN 离子的氧配位,导致发光淬灭。如图 10 所示,以悬浮液的相对荧光强度为纵坐标, $\text{Hg}^{2+}$  浓度为横坐标,绘制 Stern-Volmer 图。淬灭效应可用 Stern-Volmer 方程解释,  $I_0/I = 1 + K_{\text{s}}c_{\text{M}}$ , 其中  $I_0$  和  $I$  分别是加入  $\text{Hg}^{2+}$  前后的荧光强度,  $c_{\text{M}}$  为金属离子的浓度。由图可知,低浓度范围内所得淬灭常数( $K_{\text{s}}$ )为  $4.82 \times 10^2 \text{ L} \cdot \text{mol}^{-1}$ , 相对强度与离子浓度的线性相关系数为 0.997, 检出限 ( $3\sigma/\text{slope}$ <sup>[27]</sup>) 为  $2.73 \times 10^{-7} \text{ mol} \cdot \text{L}^{-1}$ 。与文献值对比,如银三角形纳米片多层薄膜<sup>[52]</sup>对  $\text{Hg}^{2+}$  的检测限为  $2.24 \times 10^{-6} \text{ mol} \cdot \text{L}^{-1}$ ,本 FN/OS-LYH 复合体的检测限更低,表明该复合体对  $\text{Hg}^{2+}$  的

识别能力更强,识别选择性高。

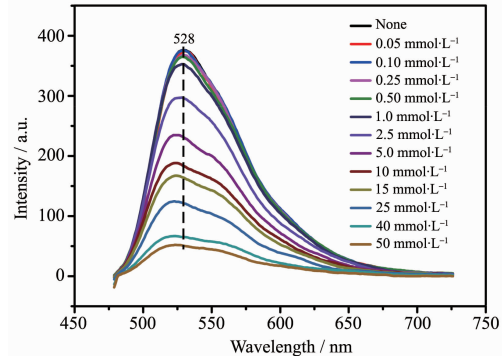


图 9 FN/OS-LYH 与不同浓度  $\text{Hg}^{2+}$  混合后的发射谱

Fig.9 Emission spectra of FN/OS-LYH in fomamide with the addition of various concentrations of  $\text{Hg}^{2+}$  (0~50 mmol·L<sup>-1</sup>) in fomamide

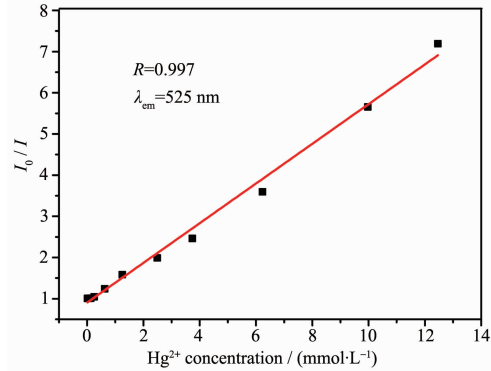


图 10 FN/OS-LYH 的相对荧光强度  $I_0/I$  与  $\text{Hg}^{2+}$  浓度 (0~14 mmol·L<sup>-1</sup>) 的关系曲线

Fig.10 Plot of  $\text{Hg}^{2+}$  concentration dependence (0~14 mmol·L<sup>-1</sup>) on  $I_0/I$  of FN/OS-LYH

### 3 结 论

通过离子交换反应,将荧光素(FN)和表面活性剂 1-辛烷磺酸根阴离子(OS)共插入 LYH 层间,得到 FN/OS-LYH 复合体。固态下,有机物 FN 不发光,LYH 层板增强了 FN 的发光,呈现黄绿光(564 nm);甲酰胺中,由于 OS 的共插层,所得复合体很容易剥离。剥离后所得胶体发射绿光(540 nm),与单纯有机物 FN 的甲酰胺溶液发射的黄绿光(572 nm)相比也发生蓝移。表面活性剂 OS 和 LYH 层板对发光均有重要影响。剥离的 FN/OS-LYH 复合体对  $\text{Hg}^{2+}$  具有很好的识别选择性,淬灭常数为  $4.82 \times 10^2 \text{ L} \cdot \text{mol}^{-1}$ ,检出限  $2.73 \times 10^{-7} \text{ mol} \cdot \text{L}^{-1}$ ,可用于  $\text{Hg}^{2+}$  识别的荧光化学传感器。此工作可拓展 LRH 类材料作为荧光传感进行金属离子识别方面的应用,为新型 LRH 复合材料的开发及应用提供了新方向。

## 参考文献:

- [1] Sideris P J, Nielsen U G, Gan Z H, et al. *Science*, **2008**,**321**: 113-117
- [2] Ma R Z, Sasaki T. *Adv. Mater.*, **2010**,**22**:5082-5104
- [3] Manos M J, Kanatzidis M G. *J. Am. Chem. Soc.*, **2012**,**134**: 16441-16446
- [4] Yamamoto N, Okuhara T, Nakato T. *J. Mater. Chem.*, **2001**, **11**:1858-1863
- [5] Nazar L F, Liblong S W, Yin X T. *J. Am. Chem. Soc.*, **1991**, **113**:5889-5890
- [6] McIntyre L J, Jackson L K, Fogg A M. *Chem. Mater.*, **2008**, **20**:335-340
- [7] Bae Y J, Lee Y H, Byeon S H. *J. Lumin.*, **2009**,**129**:81-85
- [8] Gandara F, Perles J, Snejko N, et al. *Angew. Chem. Int. Ed.*, **2006**,**45**:7998-8001
- [9] Zhu Q, Li J G, Zhi C, et al. *J. Mater. Chem.*, **2011**,**21**:6903-6908
- [10]Geng F X, Matsushita Y, Mat R Z, et al. *J. Am. Chem. Soc.*, **2008**,**130**:16344-16350
- [11]Liang J B, Ma R Z, Geng F X, et al. *Chem. Mater.*, **2010**, **22**:6001-6007
- [12]Gao X R, Hu M, Lei L X, et al. *Chem. Commun.*, **2011**,**47**: 2104-2106
- [13]Liu L L, Wang Q, Xia D, et al. *Chin. Chem. Lett.*, **2013**,**24**: 93-95
- [14]Gu Q Y, Sun Y H, Chu N K, et al. *Eur. J. Inorg. Chem.*, **2012**:4407-4412
- [15]Li W L, Gu Q Y, Su F F, et al. *Inorg. Chem.*, **2013**,**52**:14010-14017
- [16]Su F F, Liu C Y, Yang Y, et al. *Mater. Res. Bull.*, **2017**,**88**: 301-307
- [17]Chu N K, Sun Y H, Zhao Y S, et al. *Dalton Trans.*, **2012**, **41**:7409-7414
- [18]Gu Q Y, Su F F, Ma S L, et al. *Chem. Commun.*, **2015**,**51**: 2514-2517
- [19]Gu Q Y, Su F F, Ma L J, et al. *J. Mater. Chem. C*, **2015**,**3**: 4742-4750
- [20]Su F F, Gu Q Y, Ma S L, et al. *J. Mater. Chem. C*, **2015**,**3**: 7143-7152
- [21]Su F F, Liu C Y, Yang Y, et al. *J. Colloid Interface Sci.*, **2017**,**496**:353-363
- [22]Hu S L, Zhang S S, Hu Y, et al. *Dyes Pigm.*, **2013**,**96**:509-515
- [23]Duong T Q, Kim J S. *Chem. Rev.*, **2010**,**110**:6280-6301
- [24]Liu M Q, Hu M S, Jiang Q, et al. *RSC Adv.*, **2015**,**5**:15778-15783
- [25]Chen F J, Hou F P, Huang L, et al. *Dyes Pigm.*, **2013**,**98**: 146-152
- [26]Kim H, Lee B I, Byeon S H. *Chem. Commun.*, **2015**,**5**:725-728
- [27]Jeong H, Lee B I, Byeon S H. *ACS Appl. Mater. Interfaces*, **2016**,**8**:10946-10953
- [28]Su F F, Guo R, Yu Z H, et al. *Dalton Trans.*, **2018**,**47**:5380-5389
- [29]Tan L L, Chen Z B, Zhao Y, et al. *Biosens. Bioelectron.*, **2016**,**85**:414-421
- [30]Dantzig P I. *J. Am. Acad. Dermatol.*, **2003**,**49**:1109-1111
- [31]Velmurugan K, Nandhakumar R. *J. Lumin.*, **2015**,**162**:8-13
- [32]Chemate S, Sekar N. *Sens. Actuator B*, **2015**,**220**:1196-1204
- [33]Singh A, Raj T, Aree T, et al. *Inorg. Chem.*, **2013**,**52**:13830-13832
- [34]Pu S Z, Jia H J, Fan C B, et al. *Tetrahedron*, **2015**,**71**:3463-3471
- [35]Hennrich G, Walther W, Resch-Genger U, et al. *Inorg. Chem.*, **2001**,**40**:641-644
- [36]El-Safty S A, Prabhakaran D, Kiyozumi Y, et al. *Adv. Funct. Mater.*, **2008**,**18**:1739-1750
- [37]Nolan E M, Lippard S J. *Chem. Rev.*, **2008**,**108**:3443-3480
- [38]Harris H H, Pickering I J, George G N. *Science*, **2003**,**301**: 1203
- [39]Stacchiotti A, Morandini F, Bettoni F, et al. *Toxicology*, **2009**, **264**:215-224
- [40]Ramesh G V, Radhakrishnan T P. *ACS Appl. Mater. Interfaces*, **2011**,**3**:988-994
- [41]Bhalia V, Tejpal R, Kumar M, et al. *Inorg. Chem.*, **2009**,**48**: 11677-11684
- [42]Kaur N, Singh J, Raj P, et al. *New J. Chem.*, **2016**,**40**:1529-1534
- [43]Wang L, Yan D P, Qin S H, et al. *Dalton Trans.*, **2011**,**40**: 11781-11787
- [44]LEI Si-Dong(雷思东), CAO Xue-Wei(曹学伟), FENG Min (冯敏), et al. *Journal of Light Scattering(光散射学报)*, **2007**, **19**:290-295
- [45]Ali M, Dutta P, Pandey S. *J. Phys. Chem. B*, **2010**,**114**:15042-15051
- [46]Bhagi A, Pandey S, Pandey A, et al. *J. Phys. Chem. B*, **2013**,**117**:5230-5240
- [47]Ogawa M, Kuroda K. *Chem. Rev.*, **1995**,**95**:399-438
- [48]Dong J, Solntsev K M, Tolbert L M. *J. Am. Chem. Soc.*, **2009**,**131**:662-670
- [49]Kwon M S, Gierschner J, Yoon S J, et al. *Adv. Mater.*, **2012**, **24**:5487-5492
- [50]Li S D, Lu J, Wei M, et al. *Adv. Funct. Mater.*, **2010**,**20**: 2848-2856
- [51]Barnadas-Rodriguez R, Estelrich J. *J. Phys. Chem. B*, **2009**, **113**:1972-1982
- [52]Detsri E. *Chin. Chem. Lett.*, **2016**,**27**:1635-1640